



مقاله پژوهشی

بررسی اثر نانوذره اکسید منیزیم بر بیان ژن **Gad2** در هیپوکامپ موش‌های صحرایی نر در حضور و عدم حضور استرس محدودیت حاد حرکتی

معصومه اسمی‌پور^۱، زهره ولی‌زاده^{۲*}

۱- گروه زیست‌شناسی، واحد دزفول، دانشگاه آزاد اسلامی، دزفول، ایران

۲- گروه پرستاری و مامایی، واحد دزفول، دانشگاه آزاد اسلامی، دزفول، ایران

*مسئول مکاتبات: z.valizadeh@iaud.ac.ir

DOI: 10.22034/ascij.2021.687844

تاریخ پذیرش: ۱۴۰۰/۰۵/۳۱

تاریخ دریافت: ۱۴۰۰/۰۳/۲۰

چکیده

استرس حالت عصبی است که با روند مولکولی اعصاب تمامی ارگانیسم‌ها را درگیر می‌کند. نانواکسید منیزیم در کاهش و تسکین رفتارهای مشابه اضطراب و درد موثر می‌باشد، ولی مکانیسم اثر نانواکسید منیزیم بر روی تسکین درد و استرس هنوز مورد مطالعه قرار نگرفته است. ژن **Gad2** یکی از ایزوفرم‌های گلوتامات دکربوکسیلاز را کد می‌کند، آنزیمی که، گلوتامیک اسید را به گابا (کاما آمینو بوتیریک اسید) تبدیل می‌کند. در مطالعه حاضر به بررسی اثر نانوذره اکسید منیزیم بر بیان ژن **Gad2** در هیپوکامپ موش صحرایی نر در حضور و عدم حضور استرس حاد حرکتی پرداخته شد. چهار گروه موش صحرایی نر نزد ویستار (کنترل، دریافت کننده استرس + سالین، دریافت کننده ۵ میلی‌گرم بر کیلوگرم نانوذره اکسید منیزیم، دریافت کننده استرس + ۵ میلی‌گرم بر کیلوگرم نانوذره اکسید منیزیم) مورد مطالعه قرار گرفتند. RNA از بافت هیپوکامپ آنها استخراج شد. سپس سنتز cDNA و ریبل تایم برای تمامی گروه‌ها انجام شد. نتایج نشان داد بیان ژن **Gad2** به طور معنی‌داری ($p < 0.01$) در حضور نانواکسید منیزیم به ویژه در گروه با استرس حاد حرکتی نسبت به سایر گروه‌های افزایش داشت. بنا بر نتایج حاصل می‌توان گفت نانواکسید منیزیم منجر به تقویت سیستم عصبی مهاری با افزایش آنزیم گلوتامات دکربوکسیلاز در هیپوکامپ می‌گردد. مطالعات بیشتر در این زمینه روشن‌گر هر چه بیشتر این ارتباط مولکولی خواهد بود.

کلمات کلیدی: استرس، هیپوکامپ، نانواکسید منیزیم، ژن **Gad2**.

مقدمه

هیپوکامپ کاهش می‌یابد (۱۱). استرس یا اضطراب به عنوان یک پدیده رفتاری معمول در بین جمعیت‌های انسانی به شمار می‌رود که اگر به صورت مزمن ادامه پیدا کند، می‌تواند زندگی روزمره افراد را تحت شعاع خود قرار داده و آن را مختل کند (۱۲). از سوی دیگر درد یک مکانیسم دفاعی و محافظتی بدن است

هیپوکامپ به عنوان یکی از بخش‌های مغز، در رفتارهای اضطرابی و درد نقش مهمی دارد. در جوندگان درد نوروپاتیک مزمن در عملکردهای مرتبط با هیپوکامپ اختلال ایجاد می‌کند و به دنبال درد نوروپاتیک مزمن، میزان ترس و اضطراب افزایش می‌یابد. در حالی که حجم و میزان نورون‌زایی

اکسید شده در حوزه پزشکی و داروسازی جایگاه قابل توجهی را به خود اختصاص داده است (۴). تجویز حاد و مزمن نانو ذرات عناصر اکسید روی و اکسید منیزیم در مقادیر مشخص به عنوان مکمل‌های حاوی یون‌های روی و منیزیم می‌توانند سبب تغییر رفتارهای اضطرابی در معروف‌ترین مدل اضطراب سنجی (ماز به علاوه مرتفع) گرددند (۹، ۱۰). همچنین نشان داده شده است که کاربرد نانوذرات اکسید منیزیم در کار کامپیوتر به عنوان آنتاگونیست غیر N-Methyl-D-aspartic acid (NMDA) سبب افزایش اثر ضد دردی این نانوذرات می‌گردد (۸). نکته قابل تأمل در کاربرد نانوذرات عناصر اکسید شده این است که در پاسخ‌های رفتاری سنجیده شده در حیوانات آزمایشگاهی کاربرد مقادیر یکسان این نانوذرات در مقایسه با شکل معمولی آنها به مراتب اثرات قویتری را اعمال کرده‌اند (۵). ختلال در تعادل برخی از عناصر ضروری بدن از جمله یون‌های روی و منیزیم نیز می‌توانند در بروز رفتارهای اضطرابی و یا پاسخ به درد، نقش به سزایی داشته باشند (۶، ۱۶). کمبود یون منیزیم می‌تواند با اثر بر عملکرد محور هیپوتalamوس - هیپوفیزی‌آدرنال (HPA) منجر به افزایش رفتارهای شبه اضطرابی در مدل‌های آزمایشگاهی شود. در حالی که مصرف برخی از مکمل‌های منیزیم از جمله سولفات منیزیم می‌تواند، از ایجاد اضطراب جلوگیری کند (۱۵، ۱۷). از طرفی یون منیزیم اثرات مدولاتوری بر گیرنده NMDA دارد، به گونه‌ای که یون منیزیم به عنوان مسدودکننده گیرنده NMDA عمل می‌کند و به این شکل یون منیزیم به عنوان یک آنتاگونیست فیزیولوژیک برای کلسیم در کانال NMDA به شمار می‌رود به شکلی که می‌تواند به صورت نامحدودی جلوی جذب کلسیم را بگیرد و می‌توان انتظار داشت که با این کار می‌تواند باعث کاهش استرس شود. موارد بیان شده نشان می‌دهند

که احساس ناخوشایندی را در زندگی ایجاد می‌کند و همواره مطالعات بسیاری برای کاهش آن صورت گرفته است (۱۳). بین مسیرهای درد و اضطراب ارتباط متقابل وجود دارد به گونه‌ای که درد مزمن سبب افزایش اضطراب می‌شود و سطح اضطراب، نشان دهنده پیش‌بینی شدت دردهای حاد و مزمن می‌باشد. در پدیده اضطراب و درد، چندین قسمت از مغز و چندین میانجی عصبی درگیر می‌باشند و تأثیر متقابل و همانگونه چندین سیستم نوروترانسمیتری در مغز، اساس و پایه پدیده‌های اضطراب و درد را شکل می‌دهند (۱۴). گابا یک انتقال‌دهنده عصبی مهاری و گلوتامات یک انتقال دهنده عصبی تحریکی در هیپوکامپ محسوب می‌گردد و تعادل بین مهار توسط گابا و تحریک توسط گلوتامات می‌تواند پاسخ‌های فیزیولوژیک و یا رفتاری مرتبط با اضطراب را تنظیم کند (۲). افزایش تحریک‌پذیری نورون‌های گلوتاماترژیک، باعث افزایش اضطراب شده و عواملی که باعث کاهش تحریک‌پذیری این نورون‌ها می‌شوند اثرات ضداضطرابی دارند (۳).

آنژیم‌های گلوتامات دکربوکسیلаз (GAD) برای تبدیل گلوتامات به گابا، انتقال دهنده عصبی مهاری در سیستم عصبی مرکزی ضروری هستند. دو پروتئین GAD در گونه‌های مهره‌داران یافت شده است؛ GAD65 و GAD67 که از ژن‌های پارالوگ GAD1 و ژن GAD2 کد می‌شوند. با اینکه هر دوی GAD1 و ژن GAD2 گابا سنتز می‌کنند و در اغلب مهره‌داران با هم بیان می‌شوند، GAD1 گابا سیتوپلاسمی را برای اهداف متابولیک و خارج سیناپسی و ژن GAD2 ذخیره وزیکولی گابا برای رهاسازی را سنتز می‌کند (۱). عدم عملکرد صحیح ژن GAD2 منجر به برخی بیماری‌های عصبی می‌گردد. از این جمله می‌توان سندروم SPS (Stiff person syndrome) را عنوان کرد (۳). با توسعه نانوداروها، مصرف نانو عناصر

استفاده شد. در این روش موش‌ها را در دستگاه استرس حرکتی ثابت می‌کنند تا از تحرک آن‌ها ممانعت به عمل آید. نانوذره اکسید منیزیم از شرکت USnano، امریکا تهیه گردید. سوسپانسیون نانوذره منیزیم با سونیکاسیون به مدت ۱۵ دقیقه در حمام اولتراسونیک آماده‌سازی شد و قبل از هر تزریق به مدت ۱ دقیقه تکان شدید داده شد (۱۹).

استخراج RNA: لیز کامل نمونه‌های بافت هیپوکامپ جدا شده از گروه‌های موش مورد نظر با استفاده از TRIzol در دمای اتاق به مدت ۵-۱۰ دقیقه انجام گرفت. ۲۰۰ میکرولیتر کلروفرم به نمونه لیز شده با ترایزول افزوده گردید. سپس میکروتیوب در دور ۱۲۰۰۰g در دمای ۴ درجه سانتی‌گراد سانتریفیوژ شد. در اثر سانتریفیوژ سه فاز ایجاد می‌شود. RNA در فاز بالایی، پروتئین و DNA در فاز میانی و پایینی حضور دارند. به همین دلیل، جهت جلوگیری از آلودگی با پروتئین و DNA، حدود ۹۰ درصد فاز بالایی به آرامی به تیوب جدید منتقل گردید. ایزوپروپانول به اندازه‌ی حجم مایع انتقال یافته اضافه شد و به آرامی مخلوط گردید و به مدت ۲۰ دقیقه در فریزر ۲۰-۴ انکوبه شد. سپس نمونه در دور g ۱۲۰۰۰ در دمای ۴ درجه سانتی‌گراد به مدت ۱۵ دقیقه سانتریفیوژ شد. تخلیه‌ی فاز رویی افزودن ۱میلی لیتر اتانول ۷۵ درصد (تهیه شده با آب تیمار شده با DEPC) و ورتكس یا پیپتاز مخلوط تا کنده شدن رسوب ته میکروتیوب انجام شد. نمونه در دور g ۷۸۰۰ در دمای ۴ درجه سانتی‌گراد به مدت ۸ دقیقه سانتریفیوژ گردید. تخلیه‌ی محلول و خشک نمودن نسبی رسوب در دمای اتاق به مدت چند دقیقه صورت گرفت. (خشک شدن کامل رسوب حلالیت آن را کاهش می‌دهد). حل رسوب در آب تیمار شده با DEPC و انکوباسیون نمونه‌ها در دمای ۶۰ درجه به مدت ۱۰ دقیقه حل گردید. نمونه‌های RNA به فریزر -۸۰ درجه سانتی-

که گابا در تکوین و انعطاف‌پذیری سیستم عصبی نقش اساسی دارد. همچنین نشان داده شده است که نانوذرات اکسید روی و منیزیم می‌توانند در تعديل پاسخ‌های مرتبط با درد و التهاب در جوندگان موثر باشند (۱۸، ۱۹). در سال‌های اخیر مشخص شده است نانوذرات در محیط‌های زیستی می‌توانند با عبور از سدهای مختلف و نفوذ به درون سلول‌های زنده در سطح بیان ژن‌ها نیز موثر واقع شوند (۲۰). لذا در این تحقیق به بررسی اثر نانو ذرات اکسید منیزیم بر بیان ژن GAD2 در هیپوکامپ موش‌های صحرایی نر در حضور و عدم حضور استرس محدودیت حاد حرکتی پرداخته شده است.

مواد و روش‌ها

موش‌های صحرایی نر بالغ با میانگین وزنی ۲۰ ± ۲۰ گرم از مرکز تکثیر حیوانات آزمایشگاهی دانشکده دامپژوهشکی دانشگاه شهید چمران اهواز خریداری شد و در قفس‌های گروهی با درجه حرارت ۲۳ درجه سانتی‌گراد و سیکل ۱۲ ساعت روشنایی - تاریکی نگهداری شدند و هیچگونه محدودیتی از نظر مصرف آب و غذا نداشتند (n = ۴). حیوانات به طور کلی به شکل زیر گروه‌بندی شدند: گروه اول: کترل (درباره کننده سالین)، گروه دوم: موش‌های دریافت کننده استرس + سالین، گروه سوم: موش‌های دریافت کننده ۵ میلی‌گرم بر کیلوگرم نانوذره اکسید منیزیم، گروه چهارم: موش‌های دریافت کننده استرس + ۵ میلی‌گرم بر کیلوگرم نانوذره اکسید منیزیم می‌باشند.

تمامی تزریقات به میزان ۵ میلی‌گرم از نانوذره بر کیلوگرم وزن موش به صورت درون صفاتی صورت گرفت برای گروه کترول سالین ۰/۹ درصد در حجم ۱ میلی‌لیتر بر کیلوگرم وزن موش تزریق گردید. جهت القاء استرس در حیوانات از روش استرس محدود کننده حرکت (۱۹) به مدت ۹۰ دقیقه یک مرتبه

واکنش RT-PCR: پس از واکنش رونویسی معکوس PCR به منظور صحت انجام واکنش ابتدا واکنش معمولی روی محصول RT انجام گرفت. سپس از واکنش SYBR green و سیستم Real time RT-PCR برای سنجش کمی بیان ژن‌ها استفاده شد. جهت طراحی پرایمر از نرم‌افزار AlleleID 6.0 استفاده شد. جهت بررسی اختصاصیت عمل پرایمرها نیز از پایگاه داده NCBI Primer BLAST استفاده گردید که در جدول ۱ نشان داده شده است.

آنالیز داده‌ها با استفاده از نرم افزار GraphPad Prism 5 و آنالیز آماری با استفاده از روش Unpaired T-test و one-way ANOVA بین نمونه‌ی کنترل و تیمار انجام شد. نرمال‌سازی تغییرات سطوح بیانی mRNA ژن mRNAs بازگشت مورد نظر در مقایسه با سطوح بیانی اندوژنوس ژن اکتین انجام شد.

گراد منتقل شد. پس از استخراج RNA کمیت و کیفیت آن با روش‌های UV اسپکتروفتومتری و الکتروفورز ژل آگارز بررسی گردید.

(الف) بررسی غلظت RNA با روش اسپکتروفتومتری یا نانودرایپ یک روش کمی بوده و می‌توان غلظت و خلوص نمونه RNA را با استفاده از جذب نوری در طول موج‌های ۲۶۰، ۲۸۰ و ۲۳۰ نانومتر بدست آورد. ابتدا دستگاه بلنک شد و سپس ۱/۵ میکرولیتر از نمونه مورد نظر توسط دستگاه نانودرایپ مورد سنجش قرار گرفت. نمونه RNA ای که از نظر شیمیابی دست نخورده باشد و از نظر زیستی کیفیت استاندارد داشته باشد، الگوی باند ویژه‌ای روی ژل آگارز نشان می‌دهد. حضور باندهای RNA ریبوزومی ۱۸s و ۲۸s نشان‌دهندهٔ سالم و دست نخورده بودن RNA است.

جدول ۱- پرایمرهای مورد استفاده در RT-PCR

ژن	پرایمر	موقعیت کروموزومی	ترادف	طول قطعهٔ تکثیری (bp)
ژن Gad2	پیش رو بازگشت	q12.317	TCTGGCTTTGGTCCTTC TGGCTTCTCAGAGTCTCC	۱۵۰
	پیش رو بازگشت	p1112	TATCGGCAATGAGCGGTTCC AGCACTGTGTTGGCATAGAGG	۱۵۰
β -actin	پیش رو بازگشت			

نتایج

پروتئین، فنول و نمک‌های آلی می‌باشد که در شکل ۱ نشان داده شده است. بر روی ژل آگارز سه باند ۱۸s، ۲۸s و RNA ریبوزومی که نشان دهندهٔ عدم تجزیهٔ RNA و mRNA اسپیر مشاهده شده بین آن‌ها، بیانگر حضور سالم در نمونه‌های استخراج شده می‌باشد. این نتایج به دست آمده حاکی از بالا بودن سطح کیفی و کمی RNA استخراج شده برای استفادهٔ مطمئن در مراحل بعدی است که در شکل ۲ نشان داده شده است.

استخراج شده قبل از هر استفاده‌ای در دو حالت کمی و کیفی مورد بررسی قرار گرفت، در این پژوهش میزان جذب RNA استخراج شده از نظر کمی در طول موج‌های ۲۶۰ به ۲۸۰ و ۲۳۰ به ۲۶۰ توسط دستگاه نانودرایپ و از نظر کیفی در ژل یک درصد آگارز مورد بررسی قرار گرفت و به شرح زیر می‌باشد. در بررسی با نانودرایپ، نسبت جذب ۲۶۰/۲۸۰ و ۲۶۰/۲۳۰ بین بازه ۱/۸ تا ۲ بودند که نشان دهندهٔ خلوص بالای RNA و عدم آلودگی با

تائید اختصاصیت پرایمروها: به منظور بررسی هرچه بیشتر اختصاصیت پرایمروها، محصولات Real time PCR بر روی ژل آگارز ۲ درصد بارگذاری شد. بدین منظور برای هر ژن یک نمونه توموری و یک نمونه نرمال انتخاب گردید. مشاهده تک باند اختصاصی برای هرکدام از ژن‌ها نشان‌دهنده‌ی عملکرد اختصاصی پرایمروها و عدم حضور باند دایمروی و فرعی است (شکل ۸).

بررسی کارایی پرایمروها به وسیله نرم‌افزار LinRegPcr: به منظور سنجش کارایی مناسب Real time PCR پرایمروها، داده‌های مربوط به تکثیر ژن‌ها در PCR را به وسیله نرم‌افزار LinRegPcr مورد بررسی قرار داده شد. بهترین کارایی زمانی است که قرارداده ۲ و به R برابر ۱ باشد. نتایج حاصله در جدول ۲ آورده شده است.

الگوی بیان ژن GAD2: پس از انجام بهینه‌سازی شرایط تکثیر قطعه مورد نظر بیان نسبی ژن‌های ژن GAD2 با استفاده از واکنش Real time PCR در ۴ گروه مورد مطالعه اندازه‌گیری شد و داده‌های حاصل برای تمام نمونه‌ها با استفاده از روش ΔCt و نسبت به ژن کنترل داخلی β -actin نرمال‌سازی شد. آزمون آماری ANOVA برای مقایسه بیان ژن مذکور در گروه‌های مورد مطالعه با استفاده از نرم‌افزارهای GraphPad Prism 7 در سطح معنی‌داری ۹۵ درصد (p = ۰/۰۵) انجام شد که در شکل ۹ گزارش شده است.

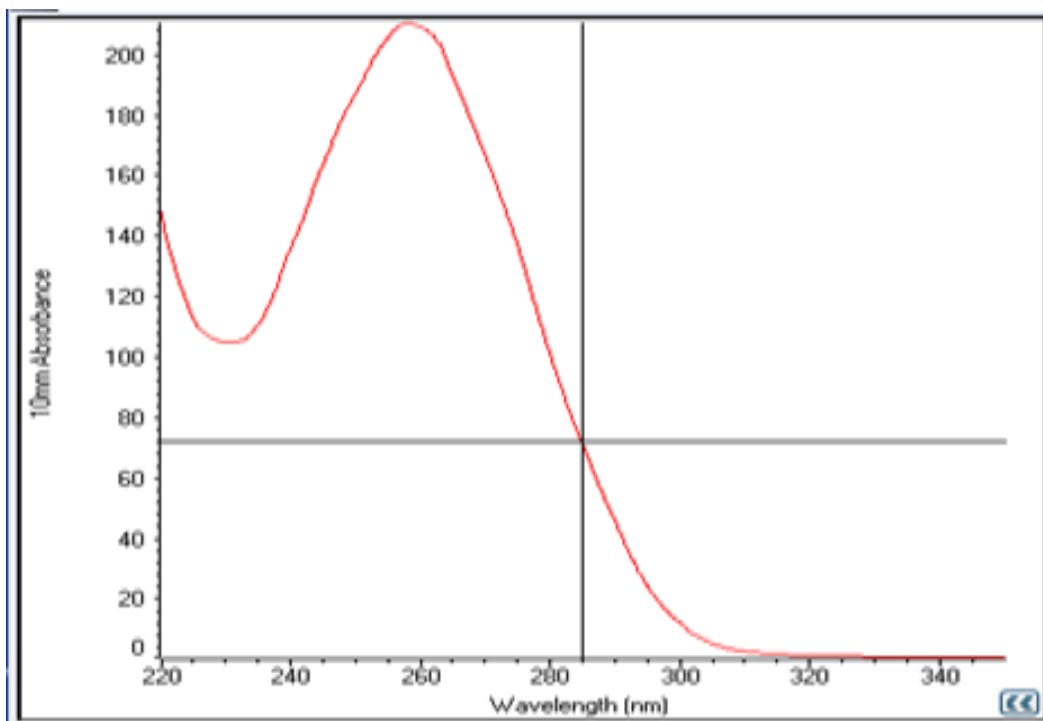
واکنش RT-PCR برای ژن ۲ Gad2 و β -actin: واکنش RT-PCR نیمه کمی برای ژن‌های β -actin و ژن ۲ Gad2 انجام شد، تا از صحت عملکرد پرایمروها اطمینان حاصل شود. در این واکنش دمای اتصال پرایمروها ۶۲ درجه سانتی‌گراد تعیین شد که پس از انجام RT-PCR نتایج هر ژن روی ژل آگارز برده شد، اندازه قطعه‌ی تکثیرشده برای هر ژن طبق جدول ۱ مطابق با اندازه‌های مورد انتظار ۱۵۰ جفت باز بود که در شکل ۳ گزارش شده است.

نتایج بررسی کمی بیان ژن‌ها با Real Time PCR: تکثیر ژن‌های β -actin و ژن ۲ Gad2 در طی مراحل مختلف انجام واکنش Real Time PCR طی ۴ سیکل انجام شد. منحنی مربوط به هر ۲ ژن در اشکال ۴ تا ۵ نمایش داده شده است، که نشان‌دهنده تکثیر مناسب قطعات موردنظر است.

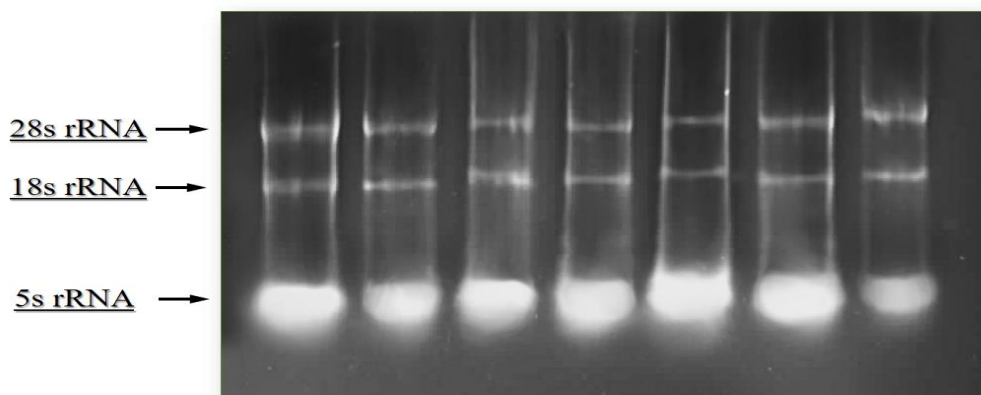
بررسی نمودار منحنی ذوب (Melting Curve): Real Time PCR منحنی ذوب محصولات نشان‌دهنده تکثیر اختصاصی پرایمروها برای هر ژن است که در این پژوهش منحنی ذوب هر ژن برای هر یک از نمونه بافت‌ها به دست آمد و با بررسی این منحنی‌ها عدم وجود پرایم دایمرو و آلدگی به DNA تأیید گردید. شکل ۶ که نشان‌دهنده دمای ذوب ژن β -actin گراد تعیین شد. شکل ۷ که نشان‌دهنده دمای ذوب ژن ۲ Gad2 است. دمای ذوب ۸۷/۹ درجه سانتی‌گراد تعیین شد.

جدول ۲- کارایی و R مربوط به ژن‌های استفاده شده در Real time PCR

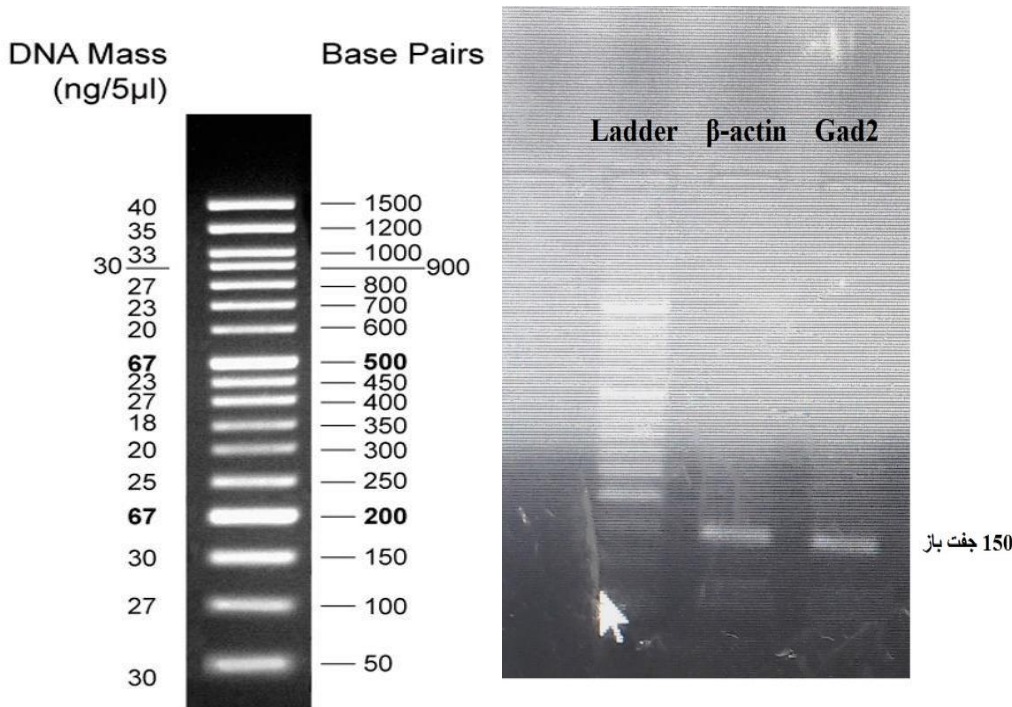
ژن	کارایی (Efficiency)	R
β -actin	۱/۹۵	۰/۹۹۹۶
Gad2 ژن	۲/۰۲	۰/۹۹۹۷



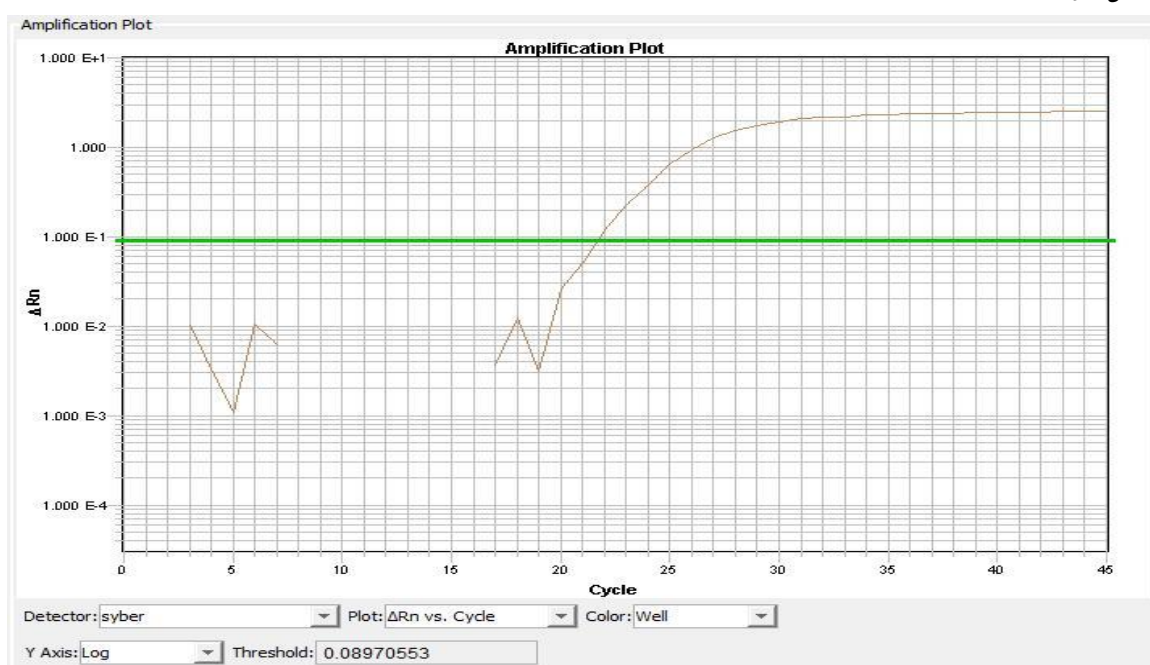
شکل ۱ - نمودار نانو دراپ، بررسی دو جذب ۲۶۰/۲۳۰ و ۲۶۰/۲۸۰



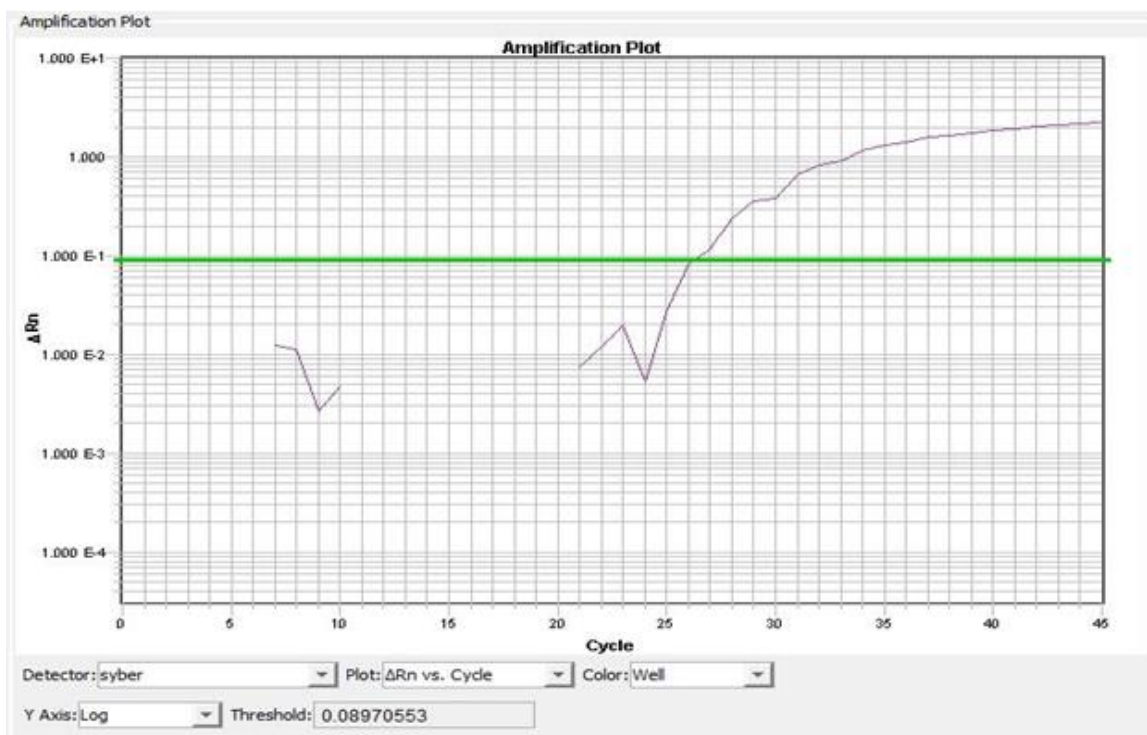
شکل ۲ - RNA تام استخراج شده از بافت روی ژل آگارز یک درصد.



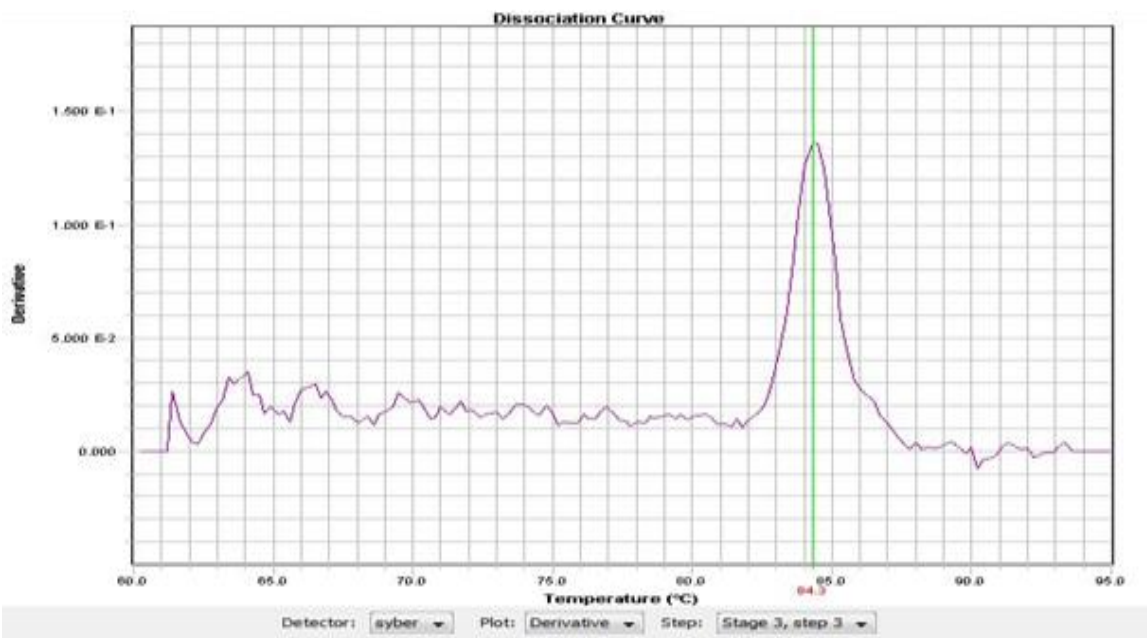
شکل ۳- واکنش RT-PCR نیمه کمی برای ژن‌های β -actin و ژن Gad2 انجام شد، تا از صحت عملکرد پرایمرها اطمینان حاصل شود.



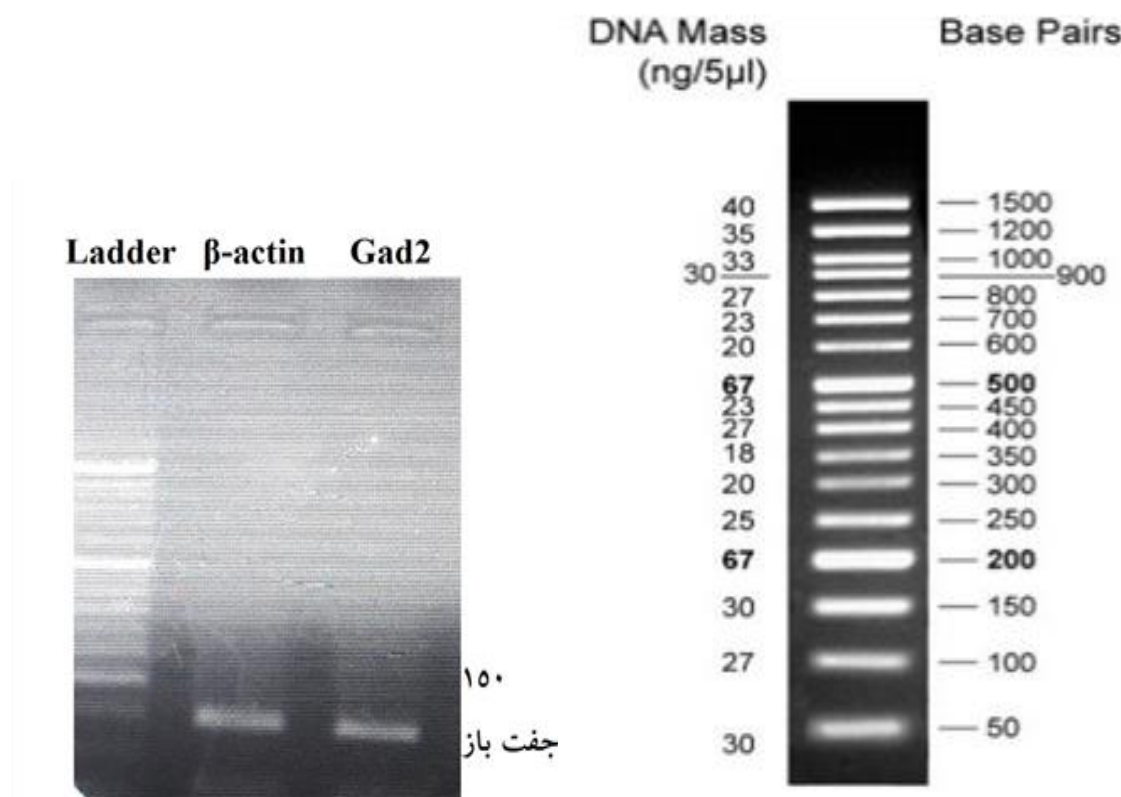
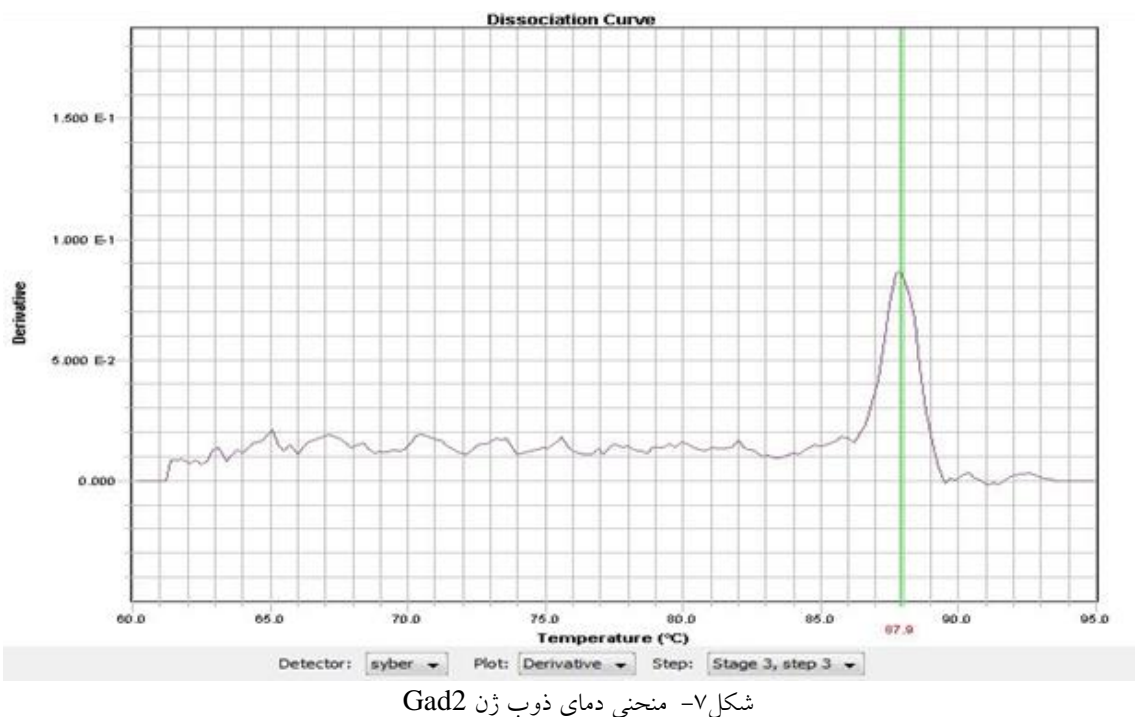
شکل ۴- منحنی تکثیر ژن β -actin



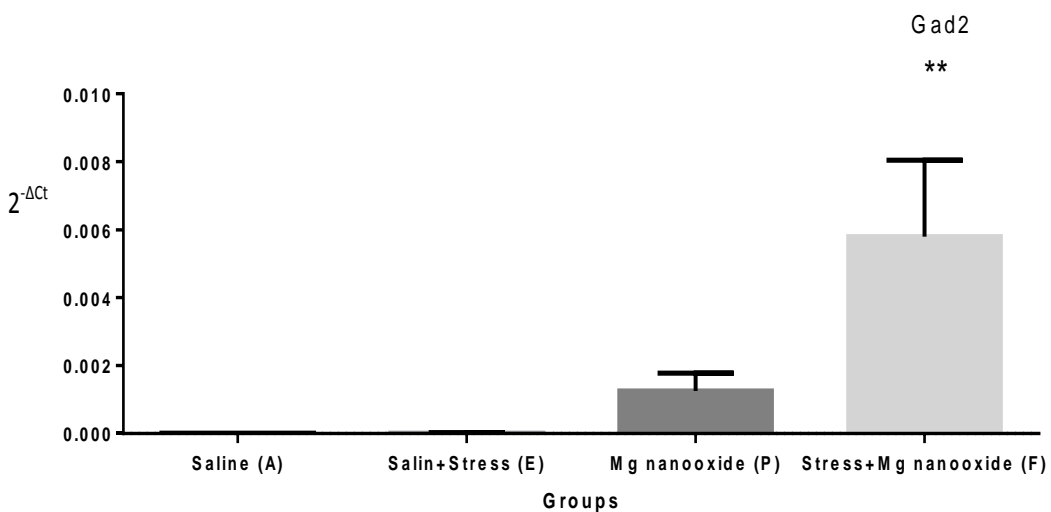
شکل ۵ - منحنی تکثیر ژن *Gad2*



شکل ۶- منحنی دمای ذوب ژن β -actin



شکل ۸- محصولات Real time PCR بر روی ژل آگارز ۲ درصد



شکل ۹- مقایسه بیان ژن *Gad2* در بین گروه‌ها (نتایج به صورت Mean \pm SEM نمایش داده شده است) بیان ژن *Gad2* با تغییر می‌یابد. این تغییر به طور معناداری در گروه F و P به طور افزایشی است.

بحث

که می‌توانند پاسخ‌های فیزیولوژیکی و یا رفتاری مرتبه با اضطراب را تنظیم کند. گابا انتقال دهنده عصبی مهم در سیستم عصبی مرکزی، که از گلوتامات GAD توسط آنزیم گلوتامیک اسید دکربوکسیلاز یا GAD ایجاد می‌شود. آنزیم‌های گلوتامات دکربوکسیلاز برای تبدیل گلوتامات به گابا ضروری هستند (۲۲). در مطالعه‌ی حاضر به بررسی اثر نانوکسید منیزیم بر روی بیان ژن *GAD2* در هیپوکامپ موش صحرایی تحت استرس حاد پرداخته شد. نتایج نشان داد:

الف) نانوکسید منیزیم منجر به افزایش بیان ژن *GAD2* در هیپوکامپ می‌گردد.

انتقال عصبی گاباژیک بسیار انعطاف پذیر است و تحت تغییرات دینامیک فراوانی در پاسخ به محیط، از جمله استرس حاد و مزمن است. داده‌های تحقیق حاضر نشان داد گروه‌های دریافت کننده نانو ذره اکسید منیزیم به طور معنی داری بیان بالاتری از رونوشت‌های mRNA ژن *GAD2* را نسبت به گروه‌های کنترل نشان می‌دهند. قابل توجه است که

استرس، همئوستازی فیزیولوژیکی را در انسان و حیوان به هم می‌ریزد. همچنین استرس حاد و اضطراب، تخریب فعالیت‌های حرکتی را در مدل‌های حیوانی به دنبال دارند. استرس سطح عناصری از جمله آهن، روی، کلسیم و منیزیم را در بدن تغییر می‌دهد. از طرفی همئوستازی عناصر در بدن نقش مهمی در پاسخ‌های عصبی-رفتاری و تعادل بیوشیمیایی در بدن دارد (۲۱، ۲۲).

مطالعات قبلی نشان داده است؛ استفاده نانوکسید منیزیم و نانوکسید روی به عنوان منبعی از روی و منیزیم برای تخفیف و تسکین رفتارهای مشابه اضطراب و درد موثر می‌باشد. برخی مطالعات نشان داده‌اند نانوذرات می‌توانند از سد خونی-مغزی عبور کنند و فاکتورهای بیوشیمیایی سیستم عصبی مرکزی را تحت تاثیر قرار دهند (۲۲، ۲۳).

پایداری و عملکرد شبکه عصبی به تعادل بین انتقال سیناپسی مهاری و تحریکی وابسته است. هیپوکامپ دارای نورون‌های گلوتاماترژیک و گاباژیک است

تا بحال بررسی‌های فیزیولوژیکی نشان داده‌اند نانوذره اکسید منیزیم برای رفتارهای عصبی شامل استرس و اضطراب موثر بوده‌اند و نتایج حاصل نیز موافق با نتایج حاصل از آزمون‌های فیزیولوژیکی حاکی از موثر بودن نانو ذره منیزیم در شرایط استرس است.

.(۱۹)

نتیجه‌گیری

با توجه به نتیجه‌ی حاضر میزان بیان نسبی ژن GAD2 در گروه‌های P و F که با نانواکسید منیزیم تیمار شده بودند به طور معنی‌داری با $p < 0.01$ نسبت به گروه‌های کنترل A و E افزایش داشت. این افزایش در گروه F نسبت به گروه P بیشتر است. با توجه به اینکه در گروه‌هایی که نانواکسید منیزیم استفاده نگردیده است تغییر بیان معنی داری در ژن GAD2 مشاهده نگردیده است این نتیجه نشان می‌دهد استفاده از نانواکسید منیزیم منجر به افزایش بیان ژن GAD2 و به احتمال قوی متنج به افزایش این آنزیم در سیستم عصبی می‌گردد.

تقدیر و تشکر

این مقاله حاصل پایان نامه مقطع کارشناسی ارشد رشته زیست‌شناسی سلوی و مولکولی است. نویسنده‌گان مقاله بر خود واجب می‌دانند از معاونت پژوهشی دانشگاه آزاد اسلامی واحد دزفول که در انجام این پایان نامه همکاری نمودند قدردانی نمایند.

منابع

- Leinekugel X., Khalilov I., McLean H., Caillard O., Gaiarsa J.L., Ben-Ari Y., Khazipov R. 1999. GABA is the principal fast-acting excitatory transmitter in the neonatal brain. *Advances in Neurology*, 79: 189-201.
- Maguire J., 2014. Stress-induced plasticity of GABAergic inhibition. *Front Cell Neurosci*, 8: 157-165.

افزایش بیان ژن GAD2 در گروهی که تحت استرس حاد حرکتی قرار گرفته است و تیمار نانو ذره اکسید منیزیم را دریافت نموده بسیار بیشتر از گروهی است که بدون قرار گرفتن در شرایط استرسی تنها نانو ذره اکسید منیزیم را دریافت کرده است. احتمال دارد نانوذره اکسید منیزیم بر روی مسیرهای دیگری که حین استرس اختصاصاً فعال می‌گردند و متنج به افزایش ژن GAD2 می‌گرددند هم اثرات مثبت داشته باشد. برای مثال پروموتر ژن GAD2 مورد هدف گیرنده‌های استتروئیدی ER α و ER β قرار می‌گیرد و همچنین فاکتورهایی رونویسی دیگری از جمله CREB، هیستون داستیلازها (HDAC)، افزاینده‌ها و تغییرات ساختار کروماتین و اپی‌زنکتیکی بر تنظیم بیان ژن GAD2 اثر دارند و تیمار نانو ذره اکسید منیزیم می‌تواند تا حدودی هر یک از این عوامل را تحت تاثیر قرار داده باشد که نیازمند مطالعات بیشتر در این زمینه است. از این مسیرها به خوبی مشخص شده است استروژن‌ها می‌توانند عملکردهای رفتاری و فیزیولوژیکی را تحت تاثیر قرار دهند. به نظر می‌رسد عملکرد گیرنده‌های ER α و ER β به طور متضاد پاسخ‌های استرس را کنترل و سیستم‌های مختلف پیتیدها و انتقال دهنده‌های عصبی را تنظیم می‌کنند. مکانیسم‌های مشخص کننده فرآیندهای تنظیمی در حال بررسی است. هرچند مسیرهای مولکولی به خوبی مشخص نشده‌اند، موش ناک اوتوت هر دو ژن ERalpha و ERbeta اهمیت این گیرنده‌ها را در پاسخ‌های رفتاری نشان داده است .(۲۴).

ب) نانوذره اکسید منیزیم می‌تواند با افزایش ژن GAD2 متعاقباً گابا را افزایش دهد.

پ) نانوذره اکسید منیزیم با تقویت حضور گابا در سیناپس‌های سیستم عصبی مرکزی می‌تواند ترکیب مناسبی جهت کاهش استرس و یا حالاتی مشابه با استرس باشد .(۱۹).

- changes in hippocampal/prefrontal circuits in rats: effects of antidepressants. *Cerebral Cortex*, 14(2): 224-229.
13. Ruijter J.M., Ramakers C., Hoogaars W.M., Karlen Y., Bakker O., van den Hoff M.J., Moorman A.F., 2009. Amplification efficiency: linking baseline and bias in the analysis of quantitative PCR data. *Nucleic Acids Research*, 37(6): e45-e45.
14. Sartori S.B., Whittle N., Hetzenauer A., Singewald N., 012. Magnesium deficiency induces anxiety and HPA axis dysregulation: modulation by therapeutic drug treatment. *Neuropharmacology*, 62(1): 304-312.
- 15 .Shors T.J., Seib T.B., Levine S., Thompson R.F., 1989. Inescapable versus escapable shock modulates long-term potentiation in the rat hippocampus. *Science*, 244(4901): 224-226.
16. Sonavane G., Tomoda K., Makino K., 2008. Biodistribution of colloidal gold nanoparticles after intravenous administration: effect of particle size. *Colloids and Surfaces B: Biointerfaces*, 66(2): 274-480.
17. Szewczyk B., Poleszak E., Sowa-Kucma M., Siwek M., Dudek D., 2008. Antidepressant activity of zinc and magnesium in view of the current hypotheses of antidepressant action. *Pharmacological Reports*, 60(5): 588-599.
18. Torabi M., Kesmati M., Eshagh Harooni H., Najafzadeh Varzi H., 2014. Effect of Intra CA1 and Intraperitoneal Administration of Opioid Receptor Modulating Agents on The Anxiolytic Properties of Nano and Conventional ZnO in Male Rats. *Cell Journal*, 16(2): 163-170.
19. Wang C., Lu J., Zhou L., Li J., Xu J., Li W., 2016. Effects of Long-Term Exposure to Zinc Oxide Nanoparticles on Development, Zinc Metabolism and Biodistribution of Minerals (Zn, Fe, Cu, Mn) in Mice. *PLOS One*, 14(10): 1-14.
3. Mattson M.P., Kater S.B., 1989. Excitatory and inhibitory neurotransmitters in the generation and degeneration of hippocampal neuroarchitecture. *Brain Research*, 478(2): 337-348.
4. Mayer M.L., 2005. Glutamate receptor ion channels. *Current Opinion in Neurobiology*, 15(3): 282-288.
5. Mlyniec K., 2015. Zinc in the Glutamatergic Theory of Depression. *Current Neuropharmacology*, 13(4): 505-513.
6. Mutso A.A., Radzicki D., Baliki M.N., Huang L., Banisadr GH., Centeno M.V., 2012 .Abnormalities in hippocampal functioning with persistent pain. *Neuroscience*, 32(17): 5747-5756.
7. Padovan C., Guimaraes F., 2000. Restraint-induced hypoactivity in an elevated plus-maze. *Brazilian Journal of Medical and Biological Research*, 33(1): 79-83.
8. Poleszak E., 2004. Antidepressant- and anxiolytic-like activity of magnesium in mice. *Pharmacology Biochemistry and Behavior*, 78(1): 7-12.
9. Pourmotabbed A., Motamedi F., Fathollahi Y., Mansouri F.A. Semnanian S., 1998. Involvement of NMDA receptors and voltage-dependent calcium channels on augmentation of long-term potentiation in hippocampal CA1 area of morphine dependent rats. *Brain Research*, 804(1): 125-134.
10. Ramakers C., et al., 2003. Assumption-free analysis of quantitative real-time polymerase chain reaction (PCR) data. *Neuroscience letters*, 339(1): 62-66.
- 11 Riaza B.S. C., Perez R.M.M., Vaquero L.C., Baca G.E., 2012. New perspectives in glutamate and anxiety. *Pharmacology Biochemistry and Behavior*, 100(4): 752-774.
12. Rocher C., Spedding M., Munoz C., Jay T.M., 2004. Acute stress-induced

23. Yamanaka Y., Kitamura N., Shinohara H., Takahashi K., Shibuya I., 2011. Analysis of GABA-induced inhibition of spontaneous firing in chick accessory lobe neurons. *Comparative Physiology A*, 198(3): 229-237.
24. Yu Y. Keita A., Shota I., Shigeharu K., Yo K., 2005. Realization of high strength and high ductility for AZ61 magnesium alloy by severe warm working. *Science and Technology of Advanced Material*, 6(2): 185-194.
25. Zager E., Black P.M., 1985. Neuropeptides in human memory and learning processes. *Neurosurgery*, 17(2): 355-369.
20. Waxman S.G., Cummins T.R., Dib-Hajj S.D., Black J.A., 2000. Voltage-gated sodium channels and the molecular pathogenesis of pain: a review. *Rehabilitation Research and Development*, 37(5): 517-528.
21. Wehry A.M., Beesdo-Baum K., Hennelly M.M., Connolly S.D., Strawn J.R., 2015. Assessment and treatment of anxiety disorders in children and adolescents. *Current Psychiatry Reports*, 17(52): 591-610.
22. Widiger T.A., Clark L.A., 2000. Toward DSM—V and the classification of psychopathology. *Psychological bulletin*, 126(6): 946-963.

